

急速ろ過現象の凝集理論的考察

東北大学大学院 学生員。今野 弘
 " 工学部 正員 佐藤敦久
 " " 学生員 藤井康弘

1.はじめに

先に、佐藤・今野は急速ろ過現象をヘテロ凝集理論である程度説明できるという知見を得た¹⁾。本報告は、その理論を一步進めたもので近似を施さない凝集条件の提示とろ過現象の凝集物濃度分布について示したものである。

2. ポテンシャル障壁と粒子径の効果

非極性電気二重層による相互作用とVander Waals力の合力エネルギー-Vの極大値V_{max}は次式のように求まる。

$$V_{max} = \frac{\epsilon a_1 a_2}{4(a_1 + a_2)} \left(\frac{24}{4^2 + 4^2} \right) \left\{ \ln \frac{1 + \exp(-\kappa H_0)}{1 - \exp(-\kappa H_0)} - \frac{2\kappa H_0 \exp(-\kappa H_0)}{1 - \exp(-2\kappa H_0)} \right\} + \ln \left\{ 1 - \exp(-2\kappa H_0) \right\} + \frac{2\kappa H_0 \exp(-\kappa H_0)}{1 - \exp(-2\kappa H_0)} \quad (1)$$

ϵ : 摩擦率 a_1, a_2 : 粒子1, 2の半径 H_0 : 粒子1, 2のStern-Gouy境界層の電位

κ : イオン導通率の逆数 H_0 : 粒子間距離

このV_{max}は粒子の凝集する際のポテンシャル障壁に相当するもので、小さければ凝集にとっては効果的である。先の報告¹⁾では3粒の懸濁粒子の凝集条件としてV_{max}=0と設定したためその時点での粒子径の効果は存在しなくなつた。この条件は理論的簡便上妥当であるかと考へてみると式(1)から粒子径の効果を考えみると、1, 2の粒子とも粒子径が小さい程V_{max}は1トトと小さくなることがわかつる。この知見をこの現象に適用すると、

- (1) 3粒径が小さい程懸濁質の捕集効率が良いといふ結果は3粒によるストレーニング効果の他に界面電気的な効果も大きいことによると。
- (2) 懸濁粒子径が小さい程3粒による捕集効率が低いといふ現象²⁾からすると矛盾するが、マイクロフロッフの方が3粒表面に付着されやすいといふ多くの実験結果から判断すると、より程度ポテンシャル障壁が低くなるに従事する懸濁粒子径が大きい方が効率的であると考えられる。

ほどという定性的な判断が可能であると思われる。

3. 3粒粒子と懸濁粒子の凝集の条件

V_{max}=0と凝集の条件と設定してκH₀とa₁, a₂の関係を整理すると式(2)のようになら。

$$\beta = \frac{\frac{x^2}{1-x^2} \ln x - \frac{1}{2} \ln(1-x^2)}{\frac{1}{2} \ln \frac{1+x}{1-\alpha} + \frac{\alpha}{1-x^2} \ln \alpha}, \quad \alpha = \exp(-\kappa H_0), \quad \beta = \frac{24^2}{4^2 + 4^2} \quad (2)$$

図-1は電位比が1~3、κ=10⁻⁵~10⁻⁶ [1/m] の場合にについて式(2)を用い、凝集作用の働く粒子間距離を推算して示したものである。この結果から、凝集作用の働く粒子間距離はκに大きく依存し、水処理で扱う水質では40Å~400Å程度であると思われる。したがく、Cの長さ以上に懸濁をもつた高分子電解質は必ず存在した場合、もはや粒子間のヘテロ凝集の考え方には適用できず、併機現象を含めて考慮する必要があらう。

次に、Stern-Gouy境界層における電位VとDebye-Hückel関数を適用して

C-電位に換算し、凝集条件を整理すると式(3)のようになら。

$$(3) = \frac{1}{2e^{\kappa H_0}} \frac{1 + (\zeta_2/\zeta_1)^2}{\zeta_2/\zeta_1} + \frac{A}{6\epsilon} \frac{e^{2\kappa H_0} - 1}{(\kappa H_0)^2 e^{2\kappa H_0}} - \frac{1}{\zeta_1 \zeta_2} \frac{\kappa}{\zeta_1 \zeta_2}$$

A: Hamaker定数 b: 4およびcの電位が定義された間隔距離

この(3)は先の報告¹⁾における界面電気的構造に対応するもので、より厳密な式の導導によって得られたものである。ただし、 ζ_2/ζ_1 とκH₀は互いに独立しないなく、式(4)の予測される関係にあるが、これは電位比1.3以内で成り立つ。

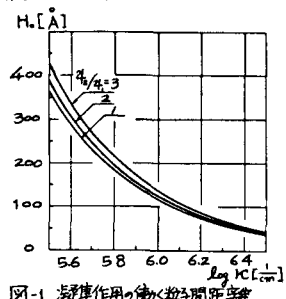


図-1 凝集作用の働く粒子間距離

ると、 $KH_0 = 0.02235(S_2/S_1)^2 + 0.0053 \times (S_2/S_1) + 1.11 \times 70$ (+)

となる。④=1.0は凝集の条件を示すもの。 $b = 65\text{Å}^{33}$ として凝集の境界界面電位を図示したのが図-2である。対称電気二重層の場合、いわゆる $S_1 = S_2$ の条件を付加すると境界電位が ζ_1 に対して図-3のようになる。変化することにはさうがこの図は田保が導いたもの³³とほぼ同じである。また、図-4は凝集剤として添加した硫酸アルミニウムが Al^{3+} と SO_4^{2-} に電離すると仮定した場合の KC の変化状況を示したものであり、 KC が大きいほど硫酸アルミニウム添加による KC の変化への寄与が大きくなることがわかる。しかし、この結果は pH によるアルミニウム化学種の変化を考慮に入れられておらずはお検討の余地がある。

4. 3層析方向の懸濁粒子の濃度変化

④ ≥ 1.0 でろ材と懸濁粒子は凝集するにはさうがろ現象への適用のため前報と同じ仮定をおくる。今、3層への流入原水濃度を 100 とし、そのうち α % が凝集条件を満足している場合、単位粒子数 n を通過後の粒子濃度とは

$$C = X_0 (1 - T\eta)^n + (100 - X_0) \quad (5)$$

となる。ただし、

$$X_0 = \frac{100}{\sqrt{2\pi}\sigma} \int_{-\infty}^{\zeta_c} \exp\left(-\frac{(\zeta - \zeta_m)^2}{2\sigma^2}\right) d\zeta$$

ζ_c : 懸濁粒子の平均濃度
 ζ_c : 懸濁粒子電位
 ζ_m : 電位の平均値
 T : 付着率
 η : 接触効率

図-4 3層析方向の

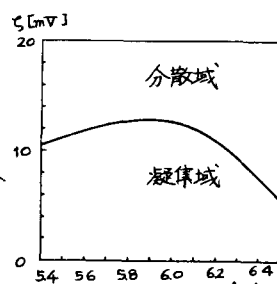


図-3 $S_1 = S_2$ の時の懸濁粒子濃度

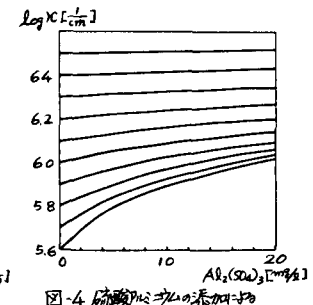


図-4 硫酸アルミニウムの添加による KC の変化

粒子濃度分布の計算結果を示した(他の条件の図は略)。これより、

1) いずれの条件においてもある一定値をとる。

2) その収束値を支配するものは ζ_c/S_1 で卓越因子 $\theta = \zeta_c/S_1$ 。

3) θ が異なっても θ を操作すれば同じ 3 層効率を得る。このことは θ を小さくできれば少ない凝集剤量で良い 3 層効率が得られることを示している。

4) S_1/S_2 を大きくすることは θ を小さくすることと同効果を持つ。

5) 収束値に至るまでの 3 层方向の濃度の変化率を支配するものは θ である。

これがわかる。図-6 は理論値と実験値を比較した一例を示したものである。

他条件の図は省いたがこれから得られた結果をまとめると次のようになる。

1) 理論値は大略実験値を追跡する。

2) 单位粒子3層数で整理することによりろ材径、3層析および空隙率を合わせて無次元表示ができる。

3) 3 層の増大に伴って θ が若干減少するがこのことは十分に予想できる。また、この減少割合はろ材径が大きくなるほど顕著である。

5. おわりに 今後、さらにこの理論を発展せたい。

参考文献 1) 佐藤敏久・今野弘：急速ろ過における付着過程の機構に関する研究、第15回衛生講論文集、pp.158~163、N.Y.9.1

2) 今野弘・佐藤敏久：ろ過水の濃度が影響を与える因子の一考察、水道技術年譜講演集初部、pp.363~364、昭和32.9

3) 田保重仁：水処理における凝集機構の基礎的研究(1)、水道協会雑誌第361号、pp.4~12、昭和39.10

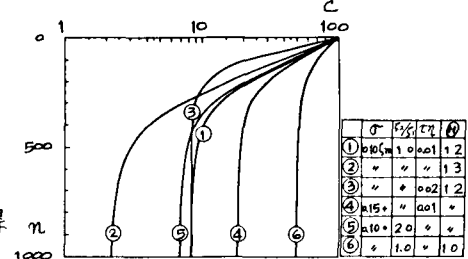


図-5 3層析方向の懸濁粒子濃度分布の計算結果

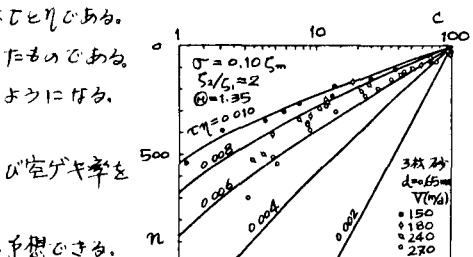


図-6 理論値(実線)と実測値(点)の比較